



### บทที่ 3

#### ทฤษฎีและแนวความคิด

ทฤษฎีพื้นฐานของกระบวนการรวมตะกอนโดยทั่วไปและแนวความคิดเกี่ยวกับกระบวนการรวมตะกอนในท่อของการวิจัย มีดังต่อไปนี้

##### 3.1 ทฤษฎีของกระบวนการรวมตะกอน

ทฤษฎีของกระบวนการรวมตะกอนจำแนกได้เป็นทฤษฎีของคอลลอยด์ ซึ่งเป็นสาเหตุของความขุ่นในน้ำ ทฤษฎีของขั้นผสมเร็ว (rapid mix stage) และทฤษฎีของขั้นสมานตะกอน (flocculation stage)

##### 3.1.1 ทฤษฎีของคอลลอยด์

ทฤษฎีของคอลลอยด์เกี่ยวกับระบบของคอลลอยด์ สภาวะคงตัวของคอลลอยด์ ซึ่งเป็นสาเหตุสำคัญของความขุ่นในน้ำ และสภาวะไม่คงตัวของคอลลอยด์ซึ่งเป็นพื้นฐานในการกำจัดความขุ่นโดยกระบวนการรวมตะกอน

##### 3.1.1.1 ระบบของคอลลอยด์

ระบบของคอลลอยด์ประกอบด้วยวิภาคกระจาย (dispersed phase) และวิภาคเอกพันธ์ (homogenous phase) ทั้งสองวิภาคนี้อาจมีสถานะเป็นของแข็งหรือของเหลวหรือก๊าซ วิภาคกระจายได้แก่ อนุภาคของแข็ง ละอองน้ำ หรือฟองอากาศขนาดเล็กที่กระจายหรือค้ำงอยู่อย่างไม่ต่อเนื่องภายในวิภาคเอกพันธ์ที่เป็นสารเนื้อเดียวกันหรือต่อเนื่องกัน ขนาดของวิภาคกระจายขึ้นอยู่กับแนวทางในการพิจารณา เช่น พิจารณาในค้ำงขนาดแต่เพียงอย่างเดียวหรือพิจารณาจากสัดส่วนระหว่างมวลกับประจุไฟฟ้าของอนุภาคนั้นๆ อย่างไรก็ตามสำหรับอนุภาคคอลลอยด์ที่กระจายอยู่ในน้ำและเป็นสาเหตุสำคัญของความขุ่น อาจประมาณได้ว่ามีขนาดเส้นผ่าศูนย์กลางตั้งแต่ 0.001 ถึง 1 ไมครอน<sup>(48)</sup>

อนุภาคคอลลอยด์ที่กระจายในน้ำได้รับการจำแนกออกเป็นประเภท โดยทฤษฎีที่แตกต่างกัน ทฤษฎีแรกพิจารณาจากสมบัติทางสัมพรรคภาพ (affinity) ของ คอลลอยด์ที่มีต่อน้ำ โดยแบ่งออกเป็นไฮโดรโฟบิกคอลลอยด์ (hydrophobic colloid) และ ไฮโดรฟิลิกคอลลอยด์ (hydrophilic colloid) ทฤษฎีหลังพิจารณาจากระดับความสามารถ ที่จะดำรงอยู่อย่างกระจายภายในน้ำหรือระดับความคงตัว (stable) โดยตรง โดยแบ่งออกเป็น คอลลอยด์ที่ทวนกลับ (reversible colloid) ซึ่งเป็นคอลลอยด์ที่มีความคงตัวอยู่เสมอ และ คอลลอยด์ที่ไม่ทวนกลับ (irreversible colloid) ซึ่งเป็นคอลลอยด์ที่ไม่คงตัว นอกจากนี้ ยังจำแนกคอลลอยด์ที่ไม่ทวนกลับหรือไม่คงตัวออกเป็นสองประเภท ได้แก่ คิวเทอร์นัล (diuturnal) หมายถึงคอลลอยด์ที่ไม่คงตัวประเภทที่มีการรวมตัวกันอย่างช้าๆ และ คาอูคัส (caducous) หมายถึง คอลลอยด์ที่ไม่คงตัวประเภทที่มีการรวมตัวกันอย่างรวดเร็ว อย่างไรก็ตามโดยทั่วไปถือว่าคอลลอยด์ ที่คงตัวคือคิวเทอร์นัล และคอลลอยด์ที่ไม่คงตัวคือคาอูคัส<sup>(31)</sup> นั่นคือพิจารณาความคงตัวและไม่คงตัว ของคอลลอยด์จากอัตราเร็วในการรวมตัวกันระหว่างอนุภาคนั้นเอง

### 3.1.1.2 สภาวะคงตัวของคอลลอยด์

สภาวะคงตัวของอนุภาคคอลลอยด์ที่กระจายในน้ำมีความสัมพันธ์ โดยตรงกับประจุไฟฟ้าที่ผิวของอนุภาคประจุไฟฟ้า เหล่านี้อาจเกิดจากความไม่สมบูรณ์ของหน่วย แลตทิซ (lattice unit) ของอนุภาคหรือเกิดจากไอออน (ion) ในน้ำที่ถูกดูดซับ (adsorp) ที่ผิวของอนุภาค หรือเกิดจากกลุ่มที่สามารถแตกตัวเป็นไอออน (ionizable group) ของอนุภาค โดยทั่วไปชนิดและขนาดของประจุไฟฟ้าขึ้นอยู่กับปริมาณไอออนและพีเอช (pH) ของน้ำ อย่างไรก็ตาม อนุภาคคอลลอยด์ที่กระจายในน้ำตามธรรมชาติมักจะมีประจุไฟฟ้าลบ

โดยที่ระบบคอลลอยด์ซึ่งประกอบด้วยอนุภาคของแข็งและน้ำจะมี ประจุไฟฟ้ารวมเป็นศูนย์ ดังนั้นประจุไฟฟ้าที่ผิวของคอลลอยด์จึงถูกควบคุมโดยประจุตรงข้ามภายใน น้ำเพื่อคงความสะเทินทางไฟฟ้าของระบบ ปรัชญาการนี้ทำให้เกิดทฤษฎีว่ามีประจุไฟฟ้าสองชั้น (electrical-double layer) ล้อมรอบอนุภาคคอลลอยด์ซึ่งได้แก่ ชั้นตรึง (fixed layer) และชั้นกระจาย (diffuse layer) ชั้นตรึงประกอบด้วยประจุไฟฟ้าตรงข้ามที่เกาะติดอยู่บนผิว ของอนุภาคโดยแรงดึงดูดทางไฟฟ้าสถิตย์ที่เกิดขึ้นระหว่างประจุไฟฟ้าของอนุภาคคอลลอยด์กับประจุ

ไฟฟ้าตรงข้ามในน้ำและแรงแวนเดอร์วาลส์(van der walls force) ถัดจากชั้นครึ่ง การเคลื่อนที่ของโมเลกุลของน้ำเนื่องจากความร้อนทำให้ประจุไฟฟ้าตรงข้ามซึ่งถูกดึงดูดเข้าสู่ผิวของอนุภาคคอลลอยด์มีความหนาแน่นน้อยลงตามระยะที่ห่างจากผิว ชั้นที่ประจุไฟฟ้าตรงข้ามกระจายอยู่ในน้ำดังกล่าวนี้คือชั้นกระจาย ขนาดหรือลักษณะของชั้นกระจายขึ้นอยู่กับประจุไฟฟ้าของคอลลอยด์ตลอดจนปริมาณและชนิดของไอออนในน้ำ

ประจุไฟฟ้าของอนุภาคคอลลอยด์ทำให้เกิดศักย์ไฟฟ้า(electical potential) ระหว่างผิวของอนุภาคกับน้ำที่อนุภาคกระจายอยู่ ศักย์ไฟฟ้ามีค่าสูงสุดบริเวณผิวและมีค่าลดลงตามระยะที่ห่างจากผิว เมื่ออนุภาคคอลลอยด์ที่มีประจุไฟฟ้าชนิดเดียวกันเคลื่อนที่เข้าใกล้กัน แรงผลักรวมเนื่องจากประจุไฟฟ้าจะเกิดขึ้นและมีค่ามากขึ้นตามระยะระหว่างอนุภาคที่ลดน้อยลง แรงผลักรวมดังกล่าวนี้จะต้านแรงแวนเดอร์วาลส์ซึ่งเป็นแรงดึงดูดระหว่างอนุภาค ซึ่งมีค่ามากขึ้นเมื่อระยะระหว่างอนุภาคลดลง ดังนั้น ถ้าศักย์ไฟฟ้าหรือแรงผลักรวมมีค่ามากในขณะที่แรงแวนเดอร์วาลส์มีค่าน้อยเนื่องจากอนุภาคยังไม่มีโอกาสเข้าใกล้กันเพียงพอ อนุภาคคอลลอยด์จะไม่สามารถสัมผัสและรวมตัวกันได้ แต่ยังคงกระจายในน้ำหรืออยู่ในสภาวะคงตัวนั่นเอง

### 3.1.1.3 สภาวะไม่คงตัวของคอลลอยด์

ปรากฏการณ์ที่ทำให้อนุภาคคอลลอยด์ในน้ำเปลี่ยนจากสภาวะคงตัวมาเป็นสภาวะไม่คงตัวที่มีการรวมตัวระหว่างอนุภาคเกิดขึ้นอย่างรวดเร็ว จำแนกออกได้เป็นสี่ประเภท ได้แก่ การอัดตัวของชั้นกระจาย(compression of diffuse layer) การดูดติดและการสะเทินประจุไฟฟ้า(adsorption and charge neutralization) การดูดติดและเชื่อมต่อนระหว่างอนุภาค(adsorption and interparticle bridging) และการห่อหุ้มในผลึก(enmeshment in a precipitate) (31)

การอัดตัวของชั้นกระจายเกิดขึ้นเมื่อประจุไฟฟ้าตรงข้ามในน้ำมีปริมาณมากขึ้น ประจุไฟฟ้าตรงข้ามในชั้นกระจายจะมีปริมาณมากขึ้นด้วย ยังผลให้ปริมาตรหรือความหนาของชั้นกระจายที่ทำหน้าที่สะเทินประจุไฟฟ้าของคอลลอยด์ลดลง การอัดตัวของชั้นกระจายเช่นนี้ทำให้อนุภาคคอลลอยด์มีโอกาสเข้าใกล้กันมากยิ่งขึ้น จนแรงแวนเดอร์วาลส์สามารถเอาชนะ

แรงผลักระหว่างอนุภาค และ เกิดการรวมตัวระหว่างอนุภาคคอลลอยด์ขึ้นในที่สุด

การดูดคิดและการสะเทินประจุไฟฟ้า เกิดขึ้นเมื่อประจุไฟฟ้าตรงข้ามนอกเหนือจากที่มีอยู่ในชั้นครึ่งและชั้นกระจายถูกดูดคิดที่ผิวของคอลลอยด์ ประจุไฟฟ้าตรงข้าม เหล่านี้จะสะเทินประจุไฟฟ้าของคอลลอยด์ทำให้ศักย์ไฟฟ้าที่ผิวลดลงจนชั้นกระจายลดลง ลักษณะเช่นนี้ทำให้แรงแวนเดอร์วาลส์สามารถเอาชนะแรงผลักระหว่างอนุภาคที่อ่อนตัวลงได้ จนเกิดการรวมตัวระหว่างอนุภาคคอลลอยด์ขึ้น

การดูดคิดและเชื่อมต่อนี้ระหว่างอนุภาคเริ่มจากการดูดคิดด้วยบอนด์ทางเคมี (chemical bond) ระหว่างผิวของคอลลอยด์กับโมเลกุลของสารโพลีเมอร์ อนุภาคคอลลอยด์เหล่านี้จะถูกเชื่อมต่อกับโมเลกุลของสารโพลีเมอร์ และแยกออกจากน้ำในลักษณะที่เป็นตะกอนร่วมกับสารโพลีเมอร์ในที่สุด

สภาวะไม่คงตัวของคอลลอยด์อาจเกิดขึ้นจากปรากฏการณ์ดังกล่าวประเภทใดประเภทหนึ่งหรือหลายประเภทร่วมกัน ทั้งนี้ขึ้นอยู่กับปัจจัยหลายประการโดยเฉพาะอย่างยิ่งลักษณะทางเคมีกายภาพของน้ำและชนิดของสารเคมีที่ใช้ การสร้างสภาวะไม่คงตัวหรือการทำลายสภาวะคงตัวของคอลลอยด์ โดยสร้างปรากฏการณ์ดังกล่าวมาเป็นลำดับการทำงานแรกเริ่มของกระบวนการรวมตะกอน

### 3.1.2 ทฤษฎีของชั้นผสมเร็ว

ทฤษฎีพื้นฐานของชั้นผสมเร็วคือ ทฤษฎีที่ว่าด้วยสภาวะคงตัวและไม่คงตัวของคอลลอยด์ที่ได้กล่าวไว้โดยสังเขปแล้ว ในที่นี้จะกล่าวถึงกลไกทำลายสภาวะคงตัวของคอลลอยด์ที่เกิดขึ้นในชั้นผสมเร็ว และพารามิเตอร์ควบคุมประสิทธิภาพของชั้นผสมเร็ว

#### 3.1.2.1 กลไกทำลายสภาวะคงตัวของคอลลอยด์

กลไกทำลายสภาวะคงตัวของคอลลอยด์ ที่เกิดขึ้นในชั้นผสมเร็วขึ้นกับปัจจัยหลายประการ ได้แก่ ธรรมชาติและความเข้มข้นของคอลลอยด์ ลักษณะทางเคมีของน้ำดื่มโดยเฉพาะอย่างยิ่งคือพีเอช ชนิดและปริมาณสารรวมตะกอนตลอดจนระดับ

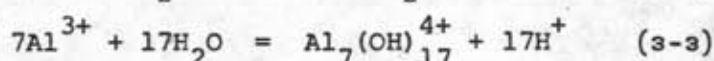
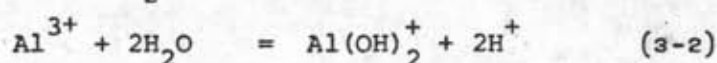
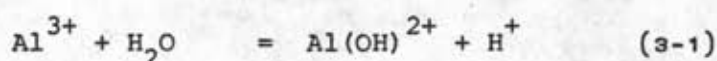
ความปั่นป่วนของน้ำ ปัจจัยดังกล่าวนี้มีความสัมพันธ์ซึ่งกันและกันอย่างแน่นหนาในกลไกทำลาย..  
สภาวะคงตัวของคอลลอยด์ที่เกิดขึ้น อย่างไรก็ตามอาจพิจารณาได้ว่าชนิดของสารรวมตะกอน  
เป็นปัจจัยพื้นฐานที่กำหนดประเภทของกลไกในชั้นผสมเร็ว

สารรวมตะกอนที่ใช้ในกระบวนการรวมตะกอน จำแนกออก  
เป็นเกลือของโลหะและสารโพลีเมอร์ ชนิดของสารรวมตะกอนดังกล่าวมาี้มีความสัมพันธ์อย่าง  
ใกล้ชิดกับประเภทของกลไกที่เกิดขึ้น กล่าวคือ สารรวมตะกอนที่เป็นเกลือของโลหะอาจทำให้  
เกิดกลไกแบบกวาด(sweep mechanism) หรือกลไกดูดติดและสะเทินทางไฟฟ้า(adsorption  
and charge neutralization mechanism) ทั้งนี้ขึ้นกับปริมาณสารรวมตะกอนที่ใช้ ความ  
เข้มข้นของอนุภาคความขุ่น ลักษณะทางเคมีของน้ำคือพีเอชและปริมาณไอออนในน้ำ และระดับ  
ความปั่นป่วนของน้ำซึ่งมีความสัมพันธ์กับเวลาผสม(mixing time) ในขณะที่สารรวมตะกอนที่  
เป็นสารโพลีเมอร์จะทำให้เกิดกลไกแบบดูดติดและเชื่อมต้อ(adsorption and bridging  
mechanism) ทั้งนี้ในกรณีของสารโพลีเมอร์ประจุบวกจะเกิดกลไกดังกล่าวรวมทั้งการสะเทิน  
ทางไฟฟ้าอีกด้วย

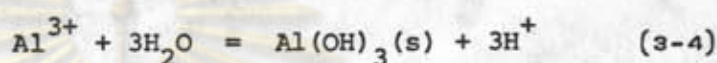
โดยที่สารรวมตะกอนที่ใช้ในการวิจัยครั้งนี้คือสารส้ม ดังนั้น  
จะกล่าวถึงกลไกทำลายสภาวะคงตัวของคอลลอยด์โดยเกลือของโลหะคือสารส้ม ได้แก่ กลไก  
แบบดูดติดและสะเทินทางไฟฟ้า และกลไกแบบกวาดดังต่อไปนี้

#### 1. กลไกแบบดูดติดและสะเทินทางไฟฟ้า

เมื่อเติมสารส้มลงในน้ำ อลูมิเนียมไอออนจาก  $Al_2$   
 $(SO_4)_3$  จะถูกล้อมรอบด้วยโมเลกุลของน้ำได้  $Al(H_2O)_6^{3+}$  หรือ  $Al^{3+}$  ไฮโดรลิซิส  
(hydrolysis) ของ  $Al^{3+}$  จะเกิดขึ้นทันทีโดยไลแกนด์(ligands)ชนิดต่างๆ ที่มีอยู่ในน้ำ  
โดยเฉพาะอย่างยิ่ง  $OH^-$  จะเข้าแทนที่โมเลกุลของน้ำ เกิดเป็นสารคอมเพล็กซ์(complexes)  
ระหว่างอลูมิเนียมกับไฮดรอกไซด์ไอออน<sup>(31,42,41)</sup> ดังสมการตัวอย่างต่อไปนี้<sup>(32)</sup>



ในกรณีที่ความเข้มข้นของสารส้มสูงกว่าความเข้มข้นที่จุดอิ่มตัว (saturation point) ไฮโดรไลซิสจะดำเนินต่อไปจนได้ผลของปฏิกิริยา (product) สุดท้ายเป็นผลึก  $\text{Al}(\text{OH})_3$



กลไกอุทกคิตและสะเทินทางไฟฟ้า เกิดจากสารคอมเพล็กซ์ประจุบวก โดยเริ่มจากการอุทกคิตระหว่างสารดังกล่าวกับผิวของคอลลอยด์ด้วยโควาเลนต์บอนด์ (covalent bond) จากนั้นประจุบวกของสารคอมเพล็กซ์จะสะเทินประจุลบของคอลลอยด์ ทำให้แรงผลักระหว่างอนุภาคลดลง จนแรงแวนเดอร์วาลส์มีค่ามากกว่าและเกิดการรวมตัวระหว่างอนุภาคคอลลอยด์ขึ้นในที่สุด (42)

อนึ่ง ในกลไกประเภทนี้ปริมาณสารรวมตะกอนมีความสัมพันธ์เป็นสโตอิชิโอเมตริก (stoichiometric) กับความเข้มข้นของคอลลอยด์ (42) นอกจากนี้ปริมาณสารรวมตะกอน ทีเอช ความเข้มข้นของคอลลอยด์ และระดับความปั่นป่วนของน้ำ ยังมีอิทธิพลต่อกลไกโดยตรง กล่าวคือปริมาณสารรวมตะกอนและทีเอชกำหนดชนิดและปริมาณของสารคอมเพล็กซ์ (31, 42) ในขณะที่ความเข้มข้นของคอลลอยด์และระดับความปั่นป่วนของน้ำกำหนดโอกาสที่สารคอมเพล็กซ์จะทำปฏิกิริยากับคอลลอยด์ (1, 33)

## 2. กลไกแบบกวาด

เมื่อเติมสารส้มลงไปในน้ำจนมีความเข้มข้นมากกว่าความเข้มข้นที่จุดอิ่มตัวไฮโดรไลซิสจะเริ่มจาก  $\text{Al}^{3+}$  จนได้  $\text{Al}(\text{OH})_3(\text{s})$  ดังแสดงในสมการ (3-4) กลไกแบบกวาดจะเกิดโดยผลึก  $\text{Al}(\text{OH})_3$  จะห่อหุ้มอนุภาคคอลลอยด์ซึ่งทำหน้าที่เป็นแกนในการ

คกผลึก ตลอดจนจนกว่าอนุภาคคอลลอยด์ที่ยังคงกระจายในน้ำให้อยู่ในกลุ่มผลึก โดยลักษณะนี้ คอลลอยด์จะถูกกำจัดออกจากน้ำพร้อมกับผลึกที่รวมตัวกัน เป็นตะกอนขนาดใหญ่ในชั้นสมานตะกอน และถูกแยกออกจากน้ำโดยการคกตะกอน

ปัจจัยที่มีอิทธิพลต่อกลไกแบบกวาดอย่างเด่นชัดคือ

ปริมาณสารรวมตะกอนและความเข้มข้นของคอลลอยด์ กล่าวคือ การคกผลึกจะเกิดขึ้นอย่างรวดเร็วเร็วมากถ้าระดับเกินการอิ่มตัว (extent of oversaturation) ของผลึกที่เกิดขึ้นมีค่าเท่ากับหรือมากกว่า 100 ระดับดังกล่าวนี้แปรตามปริมาณสารรวมตะกอน นอกจากนี้อัตราการคกผลึกยังขึ้นกับความเข้มข้นของคอลลอยด์ซึ่งทำหน้าที่เป็นแกนในการคกผลึก อนึ่ง ในกลไกประเภทนี้ ปริมาณสารรวมตะกอนไม่มีความสัมพันธ์เป็นสโตอิชิโอ เมตริกกับความเข้มข้นของคอลลอยด์<sup>(31,42,41)</sup>

จากที่กล่าวมาจะเห็นว่ากลไกทำลายสภาวะคงตัวของคอลลอยด์ในชั้นผสมเร็วทั้งสองประเภท มีความแตกต่างโดยพื้นฐานหลายประการ อย่างไรก็ตาม ลักษณะรวมกันที่เด่นชัดประการหนึ่งคือผลของปฏิกิริยาไฮโดรลิซิส ซึ่งทำหน้าที่ทำลายสภาวะคงตัวของคอลลอยด์เกิดขึ้นอย่างรวดเร็วเร็วมาก กล่าวคือ ในกรณีของกลไกแบบคูดคิดและสะเทินทางไฟฟ้า สารคอมเพล็กซ์จะเกิดขึ้นภายใน  $10^{-10}$  ถึง 1 วินาที และการคูดคิดระหว่างสารคอมเพล็กซ์กับผิวของคอลลอยด์จะเกิดขึ้นภายใน  $10^{-4}$  วินาที<sup>[31,13]</sup> ในกรณีของกลไกแบบกวาดผลึกที่ได้จากไฮโดรลิซิสของสารรวมตะกอนจะเกิดขึ้นภายใน 1 ถึง 7 วินาที<sup>(31,24)</sup> ดังนั้นจึงต้องสร้างความปั่นป่วนของน้ำในชั้นผสมเร็วให้เกิดขึ้นอย่างรุนแรงทั้งนี้เพื่อให้ผลของปฏิกิริยาไฮโดรลิซิสดังกล่าวสามารถสัมผัสและทำลายสภาวะคงตัวของอนุภาคคอลลอยด์ได้ทันทั่วทั้ง โดยอาจใช้วิธีการอย่างใดอย่างหนึ่ง เช่น กวนด้วยเครื่องมือกล (mechanical mixer) ทำให้เกิดไฮดรอลิกจัมป์ (hydraulic jump) ให้น้ำไหลผ่านดิฟฟิวเซอร์ (diffuser) ที่มีแผ่นเจาะรู (orifice) ซึ่งเป็นตำแหน่งบ่อนสารรวมตะกอน และใช้เครื่องปั่นคกในเส้นท่อ (in-line blender) ซึ่งเป็นวิธีทำให้เกิดความปั่นป่วนของน้ำอย่างรุนแรงมาก เหมาะสำหรับกลไกคูดคิดและสะเทินทางไฟฟ้าโดยตรง



### 3.1.2.2 พารามิเตอร์ควบคุมชั้นผสมเร็ว

โดยที่ลักษณะการทำงานของชั้นผสมเร็ว คือ สร้างความปั่นป่วนให้เกิดขึ้นในน้ำอย่างรุนแรงในขณะที่เติมสารรวมตะกอนเพื่อทำลายสภาวะคงตัวของคอลลอยด์ ดังนั้น ระดับความปั่นป่วนและเวลามผสม (mixing time) ซึ่งเป็นเวลาที่น้ำอยู่ภายใต้ความปั่นป่วนดังกล่าว จึงเป็นปัจจัยที่มีอิทธิพลหรือควบคุมการทำงานของชั้นผสมเร็ว พารามิเตอร์ที่นิยมใช้เป็นดัชนีบอกระดับความปั่นป่วนของน้ำในกระบวนการรวมตะกอนคือ  $G$  หรือเกรเดียนต์ของความเร็ว (velocity gradient) Camp & Stein<sup>(8)</sup> ได้ให้นิยามและเสนอสมการคำนวณค่า  $G$  ดังต่อไปนี้

$$G = \left( \frac{P}{\nu \mu} \right)^{1/2} \quad (3-5)$$

โดย  $P$  คือกำลังงานที่เข้าสู่เนื้อของเหลว  $V$  คือปริมาตรของของเหลว และ  $\mu$  คือความหนืดพลศาสตร์ (dynamic viscosity) ของของเหลว ทั้งนี้ค่า  $G$  จะมีหน่วยต่อเวลาคือวินาที<sup>-1</sup>

สำหรับพารามิเตอร์  $t$  หรือเวลามผสม เป็นที่น่าสังเกตว่าการพิจารณาอิทธิพลที่แตกต่างกันไป โดยทรยศแรกพิจารณาจากเวลาที่เกิดกลไก ทรยศที่สองพิจารณาครอบคลุมไปถึงผลกระทบที่มีต่อชั้นสมานตะกอน โดยในทรยศแรก Hudson & Wolfner<sup>(17)</sup> yrale & Jordan<sup>(47)</sup> และ Kawamura<sup>(20)</sup> เสนอว่า  $t$  ที่เหมาะสมควรมีค่าน้อยกว่า 1 วินาที ทั้งนี้พิจารณาจากเวลาของการเกิดสารคอมเพล็กซ์ในกลไกดูดซับและสะเทินทางไฟฟ้าซึ่งเกิดขึ้นภายใน  $10^{-10}$  ถึง 1 วินาที สำหรับอีกทรยศหนึ่ง Camp<sup>(7)</sup> ทำการทดลองและเสนอว่าค่า  $t$  ที่เหมาะสมควรอยู่ในระหว่าง 2 ถึง 2.5 นาที ทั้งนี้เพื่อให้ได้ความเข้มข้นเชิงปริมาตรของตะกอนสูงสุดก่อนที่จะสมานตะกอนในชั้นสมานตะกอนต่อไป นอกจากนี้ Letterman & Quon & Gemmel<sup>(24)</sup> ทำการทดลองพบว่า  $t$  ที่เหมาะสมมีค่าตั้งแต่ 1 ถึง 7 นาที และสรุปว่า  $t$  ควรมีค่าอยู่ในระดับเป็นนาทีโดยให้เหตุผลสนับสนุนว่าเวลาที่นอกเหนือจากเวลาในการเกิดสารคอมเพล็กซ์และผลึก เป็นเวลาสำหรับการสมานตะกอน



ขึ้นต้น (initial flocculation) ซึ่งทำให้การสมานตะกอนในลำดับต่อไปคือในชั้นสมานตะกอน มีประสิทธิภาพสูงขึ้นและยังทำให้ได้ตะกอนที่จับตัวดีขึ้นอีกด้วย อย่างไรก็ตาม Bratby<sup>(5)</sup> ระบุ จากผลการทดลองว่าค่า  $t$  ที่มากกว่า 2 นาที นอกจากจะไม่เกิดผลดีต่อชั้นสมานตะกอนแล้ว ยังทำลายสมรรถนะของชั้นสมานตะกอนอีกด้วย ที่กล่าวมานี้เป็นทฤษฎีสองด้านที่แตกต่างกันไป หนึ่ง ASCE & AWWA<sup>(4)</sup> และ Ten State Standards<sup>(45)</sup> ยังได้เสนอค่า  $t$  ที่เหมาะสม ซึ่งแตกต่างจากที่กล่าวมาแล้วอีกด้วยโดยเสนอค่า  $t$  10 ถึง 30 วินาที และอย่างน้อย 30 วินาที ตามลำดับ

โดยทั่วไปพารามิเตอร์  $G$  และ  $t$  จะได้รับการพิจารณาควบคู่กันไปในการออกแบบและควบคุมขั้นผสมเร็ว ค่าที่นำมาใช้มักจะกำหนดจากประสบการณ์ หรือ เป็นค่าใบเชิงเอมพิริคัล (empirical value) และขึ้นอยู่กับชนิดของเครื่องมือที่ทำให้เกิดความปั่นป่วนในน้ำ

ในกรณีที่ใช้ใบพัดแบบใบพัดเรือ (propeller impeller) ASCE & AWWA<sup>(4)</sup> แนะนำให้ใช้  $G$  1000 วินาที<sup>-1</sup> ที่  $t$  20 วินาที ไปจนถึง  $G$  700 วินาที<sup>-1</sup> ที่  $t$  มากกว่า 40 วินาที Camp<sup>(7)</sup> แนะนำให้ใช้  $G$  700 ถึง 1000 วินาที<sup>-1</sup> ที่  $t$  2 ถึง 2.5 นาที และ Letterman & Quon & Gemmel<sup>(24)</sup> แนะนำค่า  $t$  ที่เหมาะสม 2.5 นาที ที่  $G$  1000 วินาที<sup>-1</sup> ในกรณีที่ใช้ไซโครลิกจัมพ์ค่า  $G$  ที่ใช้โดยทั่วไป<sup>(1)</sup> คือ 800 วินาที<sup>-1</sup> ที่  $t$  2 วินาที ในกรณีที่ใช้คิฟิวเซอร์และเติมสารรวมตะกอนด้วยหัวฉีด (nozzle) Kawamura<sup>(21)</sup> แนะนำให้ใช้  $G$  750 ถึง 1000 วินาที<sup>-1</sup> และ  $t$  1 วินาที และในกรณีที่ใช้เครื่องปั่นคัดในเส้นท่อ Hudson & Wolfner<sup>(17)</sup> แนะนำให้ใช้  $t$  น้อยกว่า 30 วินาที โดย  $G$  มีค่าระหว่าง 3000 ถึง 5000 วินาที<sup>-1</sup>

นอกจากนี้พารามิเตอร์  $G$  และ  $t$  ยังได้รับการเสนอให้ใช้ร่วมกับปริมาณสารรวมตะกอนในการควบคุมการทำงานของขั้นผสมเร็ว โดย Letterman & Quon & Gemmel<sup>(24)</sup> ได้ทำการทดลองหาความสัมพันธ์ระหว่างพารามิเตอร์ทั้งสามโดยใช้ น้ำขุ่นสังเคราะห์ด้วยผงแอคทีเวตคาร์บอน (activated carbon powder) และใช้สารส้ม เป็นสารรวมตะกอน ผลการทดลองได้ความสัมพันธ์ในเชิงเอมพิริคัล ดังต่อไปนี้

$$G \cdot t_{\text{opt}} \cdot C^{1.46} = 5.9 \times 10^6 \quad (3-6)$$

โดย  $t_{\text{opt}}$  คือเวลาผสมที่เหมาะสมมีหน่วยเป็นวินาทีและ  
C คือปริมาณของสารส้มมีหน่วยเป็น  $g/m^3$

### 3.1.3 ทฤษฎีของชั้นสมานตะกอน

ทฤษฎีของชั้นสมานตะกอนที่จะกล่าวถึงต่อไปนี้ได้แก่กลไกสมานตะกอนและ  
พารามิเตอร์ควบคุมชั้นสมานตะกอน

#### 3.1.3.1 กลไกสมานตะกอน

การสมานตะกอนคือ การที่อนุภาคคอลลอยด์ซึ่งถูกทำลายสภาวะ  
คงตัวแล้วตกลงอนุภาคตะกอนที่ประกอบด้วยกลุ่มของอนุภาคคอลลอยด์และโพลีเมอร์ของสาร  
รวมตะกอน เกิดการชนและรวมตัวกันเป็นตะกอนที่มีขนาดใหญ่ขึ้น ปรากฏการณ์ซึ่งทำให้เกิดการ  
สมานตะกอนอาจจำแนกออกเป็นสามประเภทได้แก่<sup>(31)</sup> การเคลื่อนที่เนื่องจากความร้อน  
(thermal motion) การจมตัวด้วยอัตราเร็วที่แตกต่างกัน(differential setting)และ  
การเคลื่อนที่ของเนื้อของเหลว(bulk fluid motion) ปรากฏการณ์แต่ละประเภทมีพฤติกรรม  
ที่แตกต่างกันดังต่อไปนี้

##### 1. การเคลื่อนที่เนื่องจากความร้อน

ความร้อนภายในน้ำซึ่งแปรรูปเป็นพลังงานจลน์ทำให้  
โมเลกุลของน้ำเคลื่อนที่อย่างรวดเร็วและชนอนุภาคที่กระจายอยู่ในน้ำ ลักษณะเช่นนี้ทำให้  
อนุภาคมีการเคลื่อนที่แบบสุ่ม(random motion) จนเกิดการชนหรือสัมผัสกันระหว่างอนุภาค  
ขึ้น<sup>(31,18)</sup> การสมานกันระหว่างกลุ่มของอนุภาคภายหลังการสัมผัสทำให้ได้ตะกอนที่มีขนาดใหญ่

การสมานตะกอนในลักษณะดังกล่าวมานี้เรียกว่า การ  
สมานตะกอนแบบเพอริโคเนซิส(perikinesis) อัตราสมานตะกอนแบบเพอริโคเนซิสขึ้นกับ

ลักษณะทางกายภาพของน้ำโดย เฉพาะอย่างยิ่งคืออุณหภูมิ และขึ้นกับจำนวนของอนุภาค อนึ่งการ สมานตะกอนประเภทนี้จะมีอัตราสมานตะกอนสูงกว่าการสมานตะกอนประเภทอื่น เมื่ออนุภาคมี ขนาดเส้นผ่าศูนย์กลางเล็กกว่า 1 ไมครอน<sup>(31)</sup> การสมานตะกอนแบบเพอริโคเนซิสจะลด บทบาทลงจนเหลือน้อยมาก เมื่ออนุภาคตะกอนเพิ่มขนาดจนใหญ่กว่า 1 ไมครอน<sup>(16)</sup>

## 2. การจมตัวด้วยอัตราเร็วที่แตกต่างกัน

การสมานตะกอนโดยปรากฏการณ์เช่นนี้ เกิดขึ้นในน้ำที่ อยู่ในภาวะสถิตย์หรือปราศจากความปั่นป่วน (static or non-turbulent fluid) โดย อนุภาคตะกอนหรือตะกอนที่มีขนาดใหญ่กว่าจะมีอัตราเร็วในการจมตัวสูงกว่าอนุภาคตะกอนที่มี ขนาดเล็กกว่า จนเกิดการชนและสมานกันขึ้นในระหว่งการจมตัว<sup>(18)</sup> การสมานตะกอนโดย การจมตัวด้วยอัตราเร็วที่แตกต่างกันดังกล่าวนี้โดยทั่วไปจะ เกิดขึ้นในถังขึ้นตะกอน (sludge blanket clarifier) และถังตกตะกอน

## 3. การเคลื่อนที่ของเนื้อของเหลว

เมื่อเกิดสภาวะการกวนขึ้นในของเหลวคือน้ำ ความเร็ว ในการเคลื่อนที่ของน้ำจะแปรไปตามตำแหน่งและเวลา อนุภาคซึ่ง เคลื่อนที่ไปกับน้ำก็จะมี ความเร็วแตกต่างกันไปด้วย ทำให้เกิดการชนและสมานกัน ในที่สุด การสมานตะกอนที่เกิดจากปรากฏ การณ์ทางไฮโดรไดนามิกส์เช่นนี้เรียกว่า การสมานตะกอนแบบออร์โธโคเนซิส (orthokinesis) เมื่อเปรียบเทียบกับอัตราสมานตะกอนโดยพิจารณาจากขนาดของอนุภาค ปรากฏว่าการสมานตะกอน ประเภทนี้มีอัตราสมานตะกอนสูงกว่าการสมานตะกอนแบบเพอริโคเนซิสมาก เมื่ออนุภาคมีขนาด ใหญ่กว่า 1 ไมครอน<sup>(31)</sup>

โดยที่อนุภาคตะกอนและตะกอนในชั้นสมานตะกอนมีขนาด ตั้งแต่ 100 ถึง 2000 ไมครอน<sup>(34)</sup> ดังนั้นกลไกหลักในชั้นสมานตะกอนของกระบวนการรวม ตะกอนจึงได้แก่กลไกสมานตะกอนแบบออร์โธโคเนซิส การสร้างสภาวะการเคลื่อนที่ของน้ำให้

มีความเร็วที่แตกต่างกันไปตามตำแหน่งต่างๆ ในน้ำเพื่อให้เกิดกลไกดังกล่าวขึ้น อาจใช้วิธีทางกลศาสตร์ด้วยการปล่อยให้น้ำไหลผ่านผนังกัน (baffle) หรือใช้วิธีทางกลโดยกวนน้ำด้วยใบพัดแบบต่างๆ ได้แก่ แบบใบพาย (paddle) แบบเทอร์ไบน์ (turbine) และแบบใบพัด (axial flow propeller)

จอนหลศาสตร์ของการผสมานคะกอนแบบออร์โโตโคเนซิส นี้เริ่มจากทฤษฎีที่ว่าด้วยการชนกันระหว่างอนุภาค ซึ่งเสนอโดย Smoluchowski<sup>(37)</sup> และ Camp & Stein<sup>(8)</sup> ได้พัฒนาขึ้นเป็นสมการที่แสดงว่าอัตราการชนระหว่างอนุภาคขึ้นอยู่กับจำนวนและขนาดของอนุภาค ตลอดจนเกรเดียนต์ความเร็วดังต่อไปนี้

$$\frac{dn}{dt} = \frac{G}{6} (d_1 + d_2)^3 n_1 n_2 \quad (3-7)$$

โดยที่  $\frac{dn}{dt}$  คืออัตราการชนต่อหน่วยปริมาตรน้ำ อย่างไรก็ตามเป็นที่น่าสังเกตว่า สมการดังกล่าวมีพัฒนามาจากทฤษฎีที่ว่าด้วยการชนกันระหว่างอนุภาค ซึ่งกำหนดขึ้นจากการไหลแบบลามินาร์ (laminar flow) นอกจากนี้หารามิเคอร์ G ซึ่งเสนอโดย Camp & Stein<sup>(8)</sup> และนำมาใช้ในสมการนี้ก็กำหนดหรือนิยามจากการไหลแบบลามินาร์เช่นกัน ในขณะที่การไหลของน้ำในชั้นผสมานคะกอนเป็นการไหลแบบปั่นป่วน (turbulent flow)<sup>(27)</sup> หรือในบางกรณีเป็นการไหลที่อยู่ในช่วงเปลี่ยน (transition zone)<sup>(1)</sup> ลักษณะเช่นนี้ทำให้สมการ (3-7) มีความเบี่ยงเบนโดยพื้นฐาน ต่อมา Levich<sup>(27)</sup> ได้เสนอสมการแสดงอัตราการชนระหว่างอนุภาคภายใต้การไหลแบบปั่นป่วนดังต่อไปนี้

$$\frac{dn}{dt} = 12fkG(d_1 + d_2)^3 n_1 n_2 \quad (3-8)$$

โดยที่ K คือค่าคงที่และมีค่าประมาณ  $\frac{1}{6}$  จากผลการทดลองของ Fuchs<sup>(34)</sup> ดังนั้น อัตราการชนระหว่างอนุภาคภายใต้การไหลแบบปั่นป่วน คือ

$$\frac{dn}{dt} = \frac{12f}{\sqrt{5}} G(d_1 + d_2)^3 n_1 n_2 \quad (3-9)$$

จากสมการ (3-7) และ (3-9) จะเห็นว่าอัตราการชนภายใต้การไหลแบบลามินาร์มีค่าน้อยกว่าอัตราการชนภายใต้การไหลแบบปั่นป่วนซึ่งเป็นสภาวะที่เกิดขึ้นจริงประมาณ 7 เท่า อย่างไรก็ตาม Tambo<sup>(44)</sup> พบว่าเมื่อใช้เครื่องมือกลในการกวนน้ำ กำลังงานที่กระจายเข้าสู่ น้ำทั้งระบบจะมีค่าเพียงประมาณ 10% โดยส่วนใหญ่ของกำลังงานจะอยู่ในน้ำบริเวณขอบใบพัด ทำให้กำลังงานเข้าสู่ น้ำที่นำไปคำนวณในสมการค่า  $G$  ของ Camp & Stein<sup>(8)</sup> สูงเกินความจริงและได้ค่า  $G$  สูงเกินความจริงในที่สุด ดังนั้น ความเบี่ยงเบนของสมการ (3-7) จึงลดน้อยลง และพอที่จะใช้ทำนายอัตราการชนระหว่างอนุภาคภายใต้การไหลแบบปั่นป่วนได้ในกรณีที่ใช้เครื่องมือกลกวนน้ำ

โดยพิจารณาจากผลการศึกษาของ Robeck<sup>(34)</sup> ที่พบว่า น้ำคืดที่ใช้ในระบบผลิตน้ำประปาประกอบด้วยอนุภาคความขุ่นที่มีขนาดเล็กกว่า 10 ไมครอน ในขณะที่อนุภาคตะกอนและตะกอนในชั้นสมานตะกอนมีขนาดตั้งแต่ 100 ถึง 2000 ไมครอน Hudson<sup>(16)</sup> ได้พัฒนาสมการ (3-7) ให้ง่ายขึ้น โดยถือว่าขนาดของอนุภาคในน้ำ,  $d_1$  มีค่าน้อยมากเมื่อเทียบกับขนาดของอนุภาคตะกอนและตะกอน,  $d_2$  นอกจากนี้ยังได้เปลี่ยนเทอม  $\frac{dn}{dt}$  ซึ่งหมายถึงอัตราการชนระหว่างอนุภาคมาเป็นอัตราสมานตะกอน โดยเพิ่มอัตราส่วนเกาะติด,  $\alpha$  ซึ่งหมายถึงอัตราส่วนของจำนวนอนุภาคที่สมานตัวกันภายหลังการชน เข้าไว้ในเทอมขวามือของสมการ (3-7) ดังนี้

$$\frac{dn}{dt} = \frac{-G}{6} d_2^3 \cdot n_1 n_2 \cdot \alpha \quad (3-10)$$

จากสมการ (3-14) Hudson<sup>(16)</sup> เปลี่ยนจำนวนและขนาดของอนุภาคตะกอนหรือตะกอน,  $n_2$  และ  $d_2$  มาอยู่ในรูปของความเข้มข้นเชิงปริมาตรของตะกอน,  $\phi$  ซึ่งมีค่าเท่ากับ  $\frac{n_2 d_2^3}{6}$  ดังนี้

$$\frac{dn}{dt} = \frac{-G}{6} n_1 \cdot \phi \cdot \alpha \quad (3-11)$$

เมื่ออินทิเกรต (integrate) สมการ (3-11) จะได้  
สมการแสดงประสิทธิภาพของชั้นสมานตะกอนดังนี้

$$\frac{n}{n_0} = \exp\left(\frac{-G\phi\alpha \cdot t}{\eta}\right) \quad (3-12)$$

โดยที่  $n$  คือจำนวนอนุภาคต่อปริมาตรน้ำที่เวลา  $t$  และ  $n_0$  คือจำนวนอนุภาคต่อปริมาตรน้ำเมื่อ  $t = 0$  สมการ (3-12) ชี้ให้เห็นว่า ประสิทธิภาพของชั้นสมานตะกอนแปรตาม เกรเดียนต์ของความเร็ว ความเข้มข้นเชิงปริมาตรของตะกอน อัตราส่วนเกาะติด และเวลาสมานตะกอน

อนึ่งปรากฏการณ์ที่เกิดขึ้นควบคู่กับการสมานตะกอนในชั้นสมานตะกอนคือ การกร่อน (erosion) หรือการแตกตัว (break up) ของตะกอนอันเกิดจากแรงเฉื่อยภายใต้เกรเดียนต์ความเร็วที่เกิดขึ้นในน้ำ<sup>(10,46)</sup> Argaman & Kaufman<sup>(3)</sup> ได้เสนอสมการสำหรับชั้นสมานตะกอนซึ่งครอบคลุมถึงการแตกตัวของตะกอนในเทอมค่าคงที่  $K_D$  ดังต่อไปนี้

$$\frac{n}{n_0} = \frac{1 + K_a G^2 t}{1 + K_D G t} \quad (3-13)$$

โดยที่  $K_a$  คือค่าคงที่ในการรวมตัว (aggregation constant) และ  $K_D$  คือค่าคงที่ในการแตกตัว (break-up constant)

### 3.1.3.2 ทารามิเตอร์ควบคุมชั้นสมานตะกอน

จากสมการหลักทางจลนพลศาสตร์ของชั้นสมานตะกอน ดังที่ได้กล่าวมา จะเห็นว่าปัจจัยที่มีอิทธิพลต่อประสิทธิภาพของชั้นสมานตะกอนครอบคลุมตั้งแต่ ระดับความปั่นป่วนของน้ำซึ่งแสดงในเทอมเกรเดียนต์ความเร็ว เวลาสมานตะกอนซึ่งแสดงในเทอมเวลากักน้ำ ปริมาณตะกอนซึ่งแสดงในเทอมความเข้มข้นเชิงปริมาตรของตะกอน ความสามารถในการสมานตัวภายหลังการชนซึ่งแสดงในเทอมอัตราส่วนเกาะติดไปจนถึงการแตกตัวของตะกอนซึ่งแสดงในเทอมค่าคงที่ของการแตกตัว อย่างไรก็ตาม โดยทั่วไปในทางปฏิบัติ ปัจจัยที่

ได้รับการนำมาใช้เป็นพารามิเตอร์ในการออกแบบและควบคุมการทำงานของขั้วสมานตะกอนคือ เกรเดียนต์ของความเร็ว,  $G$  และเวลากักน้ำ, HRT (hydraulic residence time) ซึ่งเป็นพารามิเตอร์ที่เป็นตัวแปรอิสระของขั้วสมานตะกอนและไม่ขึ้นกับการทำงานของขั้วผสมเร็ว เช่นพารามิเตอร์อื่นแต่อย่างใด

พารามิเตอร์  $G$  และ HRT มีบทบาทโดยตรงในการกำหนดประสิทธิภาพของขั้วสมานตะกอน นอกจากนี้ยังมีอิทธิพลต่อขนาดและลักษณะทางกายภาพของตะกอน กล่าวคือ ตะกอนจะมีขนาดจำกัดที่ค่า  $G$  หนึ่งๆ และขนาดของตะกอนจะแปรตามค่า HRT ในขณะที่แปรกลับกับค่า  $G$  อย่างไรก็ตาม แม้ว่าที่ค่า  $G$  สูงๆ จะทำให้ได้ตะกอนขนาดเล็ก ตะกอนที่ได้จะมีความแน่น (dense) กว่าตะกอนขนาดใหญ่ที่เกิดขึ้นภายใต้ค่า  $G$  ที่ต่ำกว่า (16, 22, 10, 19, 30) ที่กล่าวมาจะเห็นว่าค่า  $G$  และ HRT ที่มากขึ้นทำให้ประสิทธิภาพขั้วสมานตะกอนสูงขึ้นเสมอ แต่เมื่อพิจารณาครอบคลุมไปถึงการคกตะกอนซึ่งเป็นลักษณะที่เกิดขึ้นในระบบผลิตน้ำประปา ค่า  $G$  และ HRT จะต้องในช่วงค่าจำกัดที่เหมาะสมเพื่อให้ได้ตะกอนที่จับตัวได้ดี ดังนั้นเมื่อ Camp<sup>(6)</sup> ทำการวิเคราะห์ขั้วสมานตะกอนในระบบผลิตน้ำประปา จึงพบว่าพารามิเตอร์ไร้มิติที่เกิดจากผลคูณระหว่าง  $G$  และ HRT จะมีค่าที่เหมาะสมอยู่ระหว่าง  $2 \times 10^4$  ถึง  $2 \times 10^5$  และค่า  $G$  ที่เหมาะสมคือ 20 ถึง 70 วินาที<sup>-1</sup> ต่อมา Fair, Geyer & Okun<sup>(11)</sup> Gemmel<sup>(12)</sup> และ O'Melia<sup>(31)</sup> ได้เสนอว่า  $G.HRT$  ที่เหมาะสมควรมีค่าระหว่าง  $10^4$  ถึง  $10^5$  โดยที่  $G$  ควรมีค่าจาก 10 ถึง 100 วินาที<sup>-1</sup> ช่วงค่า  $G.HRT$  และ  $G$  ดังกล่าวมานี้เป็นเกณฑ์ออกแบบและควบคุมขั้วสมานตะกอนกันโดยทั่วไป นอกจากนี้ Andreu-Villegas & Letterman<sup>(2)</sup> ยังได้ทำการทดลองโดยใช้สารส้มเป็นสารรวมตะกอน และใช้น้ำขุ่นสังเคราะห์ด้วยคาโอลิไนท์ (kaolinite) ปรากฏผลว่าค่า  $G$  ที่เหมาะสมอยู่ในช่วง 20 ถึง 50 วินาที<sup>-1</sup> ค่า HRT ที่เหมาะสมอยู่ในช่วง 20 ถึง 30 นาที โดยระบุว่า HRT ที่มากไปกว่านี้จะไม่เพิ่มสมรรถนะของการสมานตะกอนแต่อย่างใด นอกจากนี้ยังได้เสนอสมการแสดงความสัมพันธ์ระหว่างค่า  $G$  ที่เหมาะสมกับ HRT และปริมาณสารส้มในเชิงเอมไพริคัลดังต่อไปนี้

$$(G^*)^{28} \text{HRT} \cdot C = 44 \times 10^5 \quad (3-14)$$

โดยที่  $G^*$  คือค่า  $G$  ที่ให้ความปั่นภายในหลังการผสม ตะกอนและตกตะกอนน้อยที่สุด มีหน่วยเป็นวินาที<sup>-1</sup> HRT มีหน่วยเป็นนาที และ  $C$  เป็นปริมาณสารส้มในช่วง 0 ถึง 50 ก/ม<sup>3</sup> สมการนี้เป็นตัวอย่างที่ดีที่แสดงถึงการพัฒนาทวารามิเตอร์  $G$  ซึ่งใช้ออกแบบและควบคุมขั้นสมานตะกอนให้มีความสัมพันธ์ครอบคลุมไปถึงการทำงานของขั้นผสมเร็ว

### 3.2 แนวความคิดของกระบวนการรวมตะกอนในท่อ

กระบวนการรวมตะกอนในท่อของการวิจัยนี้หมายถึงกระบวนการซึ่งรวมการผสมเร็ว และการสมานตะกอนไว้ในถังปฏิกรณ์เดียวกันคือท่อ แนวความคิดของกระบวนการรวมตะกอนในท่อเริ่มจากการพิจารณากระบวนการรวมตะกอนโดยทั่วไป ตลอดจนการพิจารณาการผสมเร็วในท่อและการสมานตะกอนในท่อ เพื่อพัฒนาให้ได้กระบวนการรวมตะกอนที่ประหยัด ควบคุมได้ง่าย และมีประสิทธิภาพพอสมควร สำหรับนำไปใช้ในระบบประปาที่ให้บริการชุมชนขนาดเล็กหรือระบบประปาชนบท

#### 3.2.1 กระบวนการรวมตะกอนโดยทั่วไป

กระบวนการรวมตะกอนโดยทั่วไปจำแนกเป็นกระบวนการรวมตะกอนแบบพื้นฐาน และกระบวนการรวมตะกอนในถังตะกอนสัมผัส (solid contact clarifier)

กระบวนการรวมตะกอนแบบพื้นฐานประกอบด้วยขั้นผสมเร็วและขั้นสมานตะกอนในถังปฏิกรณ์ที่แยกออกจากกัน กระแสเข้าและออกของกระบวนการไหลในแนวระดับ อนุภาคตะกอนและตะกอนในถังปฏิกรณ์มีความเข้มข้นใกล้เคียงกันและไม่มีการหมุนเวียนตะกอนในถังปฏิกรณ์ที่ใช้โดยทั่วไปคือถังปฏิกรณ์กวนสมบูรณ์ (complete stirred tank reactor) ซึ่งอาศัยเครื่องมือกลสำหรับสร้างความปั่นป่วนในน้ำ เช่น เทอร์ไบน์ (turbine) หรือใบพัด (propeller) ในถังปฏิกรณ์ผสมเร็ว ใบพาย (paddle) ในถังปฏิกรณ์สมานตะกอน เป็นต้น



ข้อดีของกระบวนการรวมตะกอนแบบพื้นฐานดังกล่าวนี้คือ สามารถแปรค่าพารามิเตอร์ควบคุมที่สำคัญคือ G โดยแปรการทำงานของเครื่องมือกล และสามารถควบคุมให้ชั้นผสมเร็วและชั้นสมานตะกอนมีประสิทธิภาพสูงสุดในแต่ละชั้น เนื่องจากถังปฏิกรณ์แยกออกจากกัน อย่างไรก็ตาม กระบวนการรวมตะกอนแบบพื้นฐานก็มีข้อด้อยที่สำคัญกล่าวคือ สิ้นเปลืองค่าใช้จ่ายขั้นต้นเนื่องจากถังปฏิกรณ์มีขนาดใหญ่และต้องติดตั้งเครื่องมือกล สิ้นเปลืองค่าใช้จ่ายขั้นต้นดำเนินการโดยเฉพาะอย่างยิ่งค่าไฟฟ้า และต้องใช้ผู้ควบคุมที่มีความรู้ความชำนาญสูงเพื่อควบคุมให้กระบวนการมีประสิทธิภาพสูงสุด ได้มีความพยายามปรับปรุงเพื่อแก้ข้อด้อยดังกล่าวนี้โดยอาศัยวิธีทางชลศาสตร์ สำหรับสร้างความปั่นป่วนในน้ำแทนเครื่องมือกลเช่น ไฮดรอลิกจัมป์ (hydraulic jump) ในชั้นผสมเร็ว ผนังกั้น (baffle) ในชั้นสมานตะกอน ทำให้สามารถลดค่าใช้จ่ายขั้นต้นและขั้นดำเนินการลงได้ในระดับหนึ่ง และควบคุมการทำงานของกระบวนการได้ง่ายขึ้น เมื่อเทียบกับกรณีที่ต้องใช้เครื่องมือกล

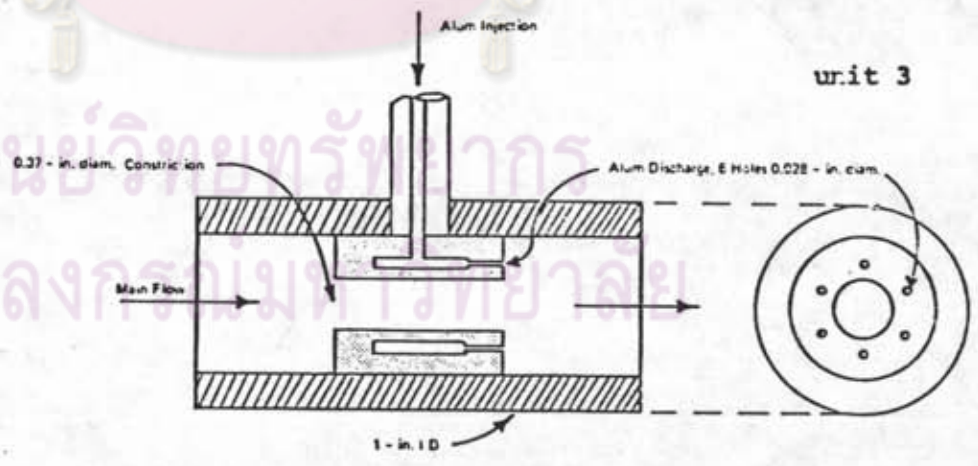
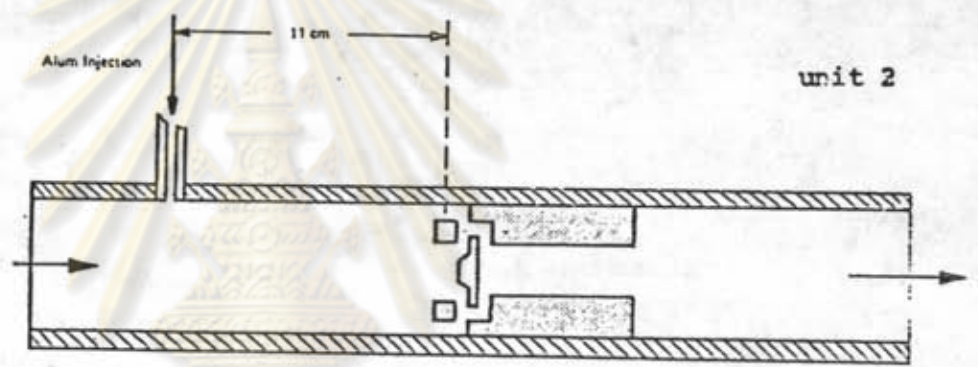
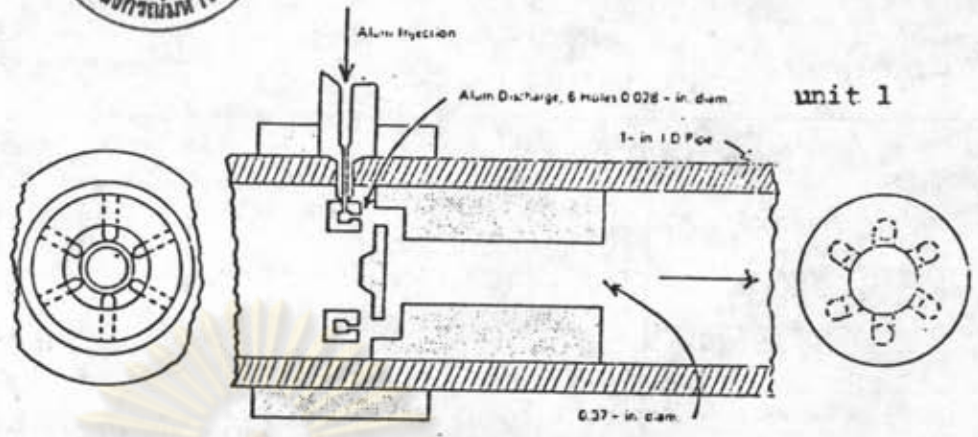
กระบวนการรวมตะกอนในถังตะกอนสัมผัส เป็นกระบวนการรวมตะกอนที่พัฒนาขึ้น เพื่อให้มีขนาดเล็กลงและใช้เครื่องมือกลน้อยลง เมื่อเทียบกับกระบวนการรวมตะกอนแบบพื้นฐาน การลดขนาดถังปฏิกรณ์กระทำโดยเพิ่มความเข้มข้นของตะกอนในชั้นสมานตะกอนด้วยการหมุนเวียนตะกอนในถังหมุนเวียนตะกอนในตัว (solid recirculation clarifier) หรือด้วยการสร้างคุณภาพให้เกิดชั้นตะกอนในถังชั้นตะกอน (sludge blanket clarifier) ทำให้ชั้นสมานตะกอนมีขนาดเล็กลง การใช้เครื่องมือกลให้น้อยลงกระทำโดยใช้ถังปฏิกรณ์แบบปลั๊กโฟล (plug flow reactor) แบบท่อสำหรับชั้นผสมเร็ว อย่างไรก็ตามกระบวนการรวมตะกอนในถังตะกอนสัมผัสมีข้อด้อยที่สำคัญคือควบคุมยากหรือต้องใช้ผู้ควบคุมที่มีความรู้ความชำนาญเป็นพิเศษ กระบวนการดังกล่าวจึงนิยมใช้เฉพาะในระบบประปาขนาดใหญ่ซึ่งมีบุคลากรและอุปกรณ์พร้อมมูล

### 3.2.2 การผสมเร็วในท่อและการสมานตะกอนในท่อ

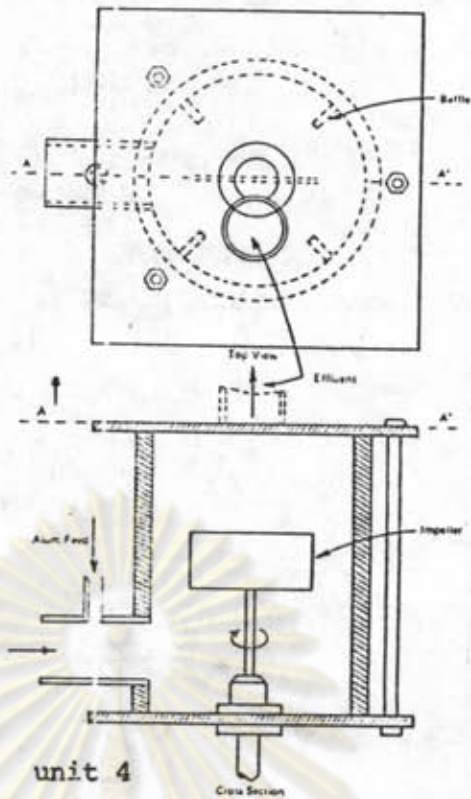
การผสมเร็วในท่อใช้กันในกระบวนการรวมตะกอนของถังตะกอนสัมผัส ในขณะที่การสมานตะกอนในท่อยังมิได้รับการนำมาประยุกต์ใช้ในกระบวนการรวมตะกอน

อย่างจริงจัง อนึ่ง ในกรณีของท่อน้ำเข้าของกระบวนการกรองโดยตรง (direct filtration process) ซึ่งมีการเติมสารรวมตะกอน อาจอนุมานได้ว่าเป็นการผสมเร็วในท่อหรือรวมถึงการผสมรวมตะกอนในท่อ อย่างไรก็ตาม ผลที่ได้คือสารที่กรองได้ง่าย (filtrable solid) มิใช่สารที่ตกตะกอนได้ง่าย (settleable solid) เช่นที่ได้จากกระบวนการรวมตะกอน

Vrale & Jorden<sup>(47)</sup> ได้ทำการทดลองเพื่อเปรียบเทียบประสิทธิภาพของการผสมเร็วในถังปฏิกรณ์ไหลตรงแบบท่อที่มีลักษณะการเติมสารเคมีแตกต่างกันกับการผสมเร็วในถังปฏิกรณ์กวนผสมแบบที่ใส่ใบพัดเป็นเครื่องมือกลดังแสดงในรูป 3.1 การเปรียบเทียบประสิทธิภาพกระทำโดยเปรียบเทียบสัมประสิทธิ์ของอัตรารวมตะกอนปรากฏหรือ  $K_{app}$  (apparent aggregation rate coefficient) หลังจากผ่านกระบวนการผสมรวมตะกอนแบบจาร์ซึ่งกำหนดให้คงที่ทุกการทดลอง ผลการทดลองแสดงในรูปที่ 3.2 จะเห็นว่า การผสมเร็วในถังปฏิกรณ์แบบสีกโพลทุกชนิดให้ประสิทธิภาพการผสมเร็วสูงกว่าถังปฏิกรณ์กวนผสม นอกจากนี้ Vrale & Jorden<sup>(47)</sup> ประเมินจากผลการทดลองว่าสามารถเพิ่มประสิทธิภาพการผสมเร็วให้สูงขึ้นไม่ต่ำกว่า 3.5 เท่าโดยใช้ถังปฏิกรณ์สีกโพลแบบท่อแทนที่ถังปฏิกรณ์กวนผสมที่ใส่เครื่องมือกล อนึ่ง สุรินทร์ หลสมบูรณ์<sup>(50)</sup> ได้ทำการทดลองเกี่ยวกับการผสมเร็วในท่อเพื่อหาค่าที่เหมาะสมของ  $G$  และ  $t$  โดยการไหลของน้ำในท่อผสมเร็วเป็นการไหลแบบปั่นป่วน (turbulent flow) ซึ่งมีค่า  $Re$  แปรจาก 8,000 ถึง 40,000 ผลการทดลองปรากฏว่า  $G$  ที่เหมาะสมมีค่าเท่ากับ 400 วินาที<sup>-1</sup> ที่  $20 < t < 60$  วินาที และเท่ากับ 2600 วินาที<sup>-1</sup> ที่  $1 < t < 20$  วินาที  $t$  ที่เหมาะสมมีค่าแปรจาก 2 ถึง 100 วินาทีโดยแปรกลับกับค่า  $G$  และ  $C \cdot Gt$  ที่เหมาะสมมีค่าแปรจาก 10,000 ถึง 20,000 และพบว่าสามารถแสดงความสัมพันธ์ระหว่าง  $G \cdot t$  และ  $C$  ในรูปสมการเอมไพริกัล คือ  $Gt_{opt} C^{0.64} = 100,000$  เมื่อ  $t_{opt}$  คือ  $t$  ที่เหมาะสม และ  $C$  คือปริมาณสารส้มที่ใช้ (alum dosage)

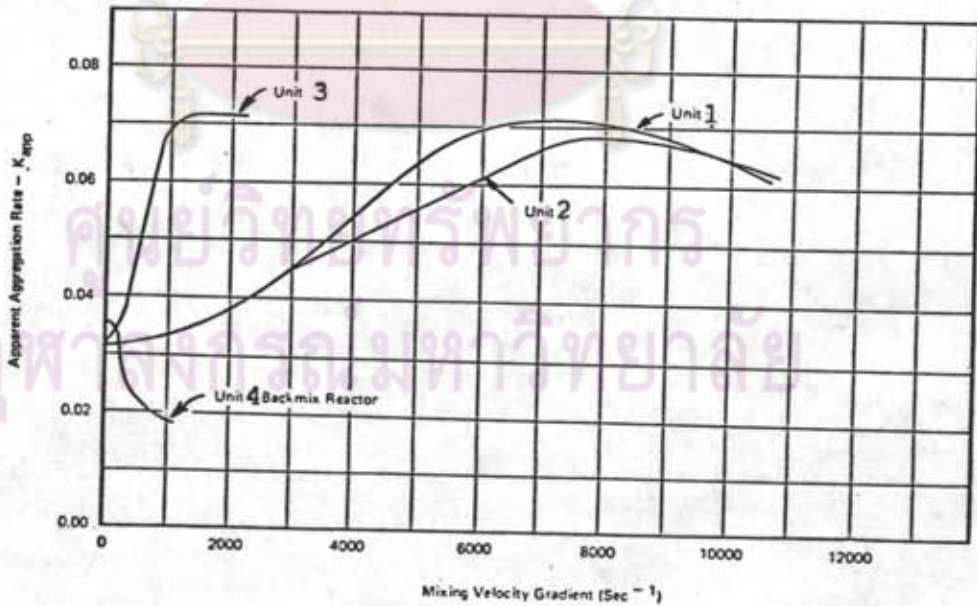


รูปที่ 3.1 (ก) ถึงปฏิบัติการไหลตรงแบบท่อ



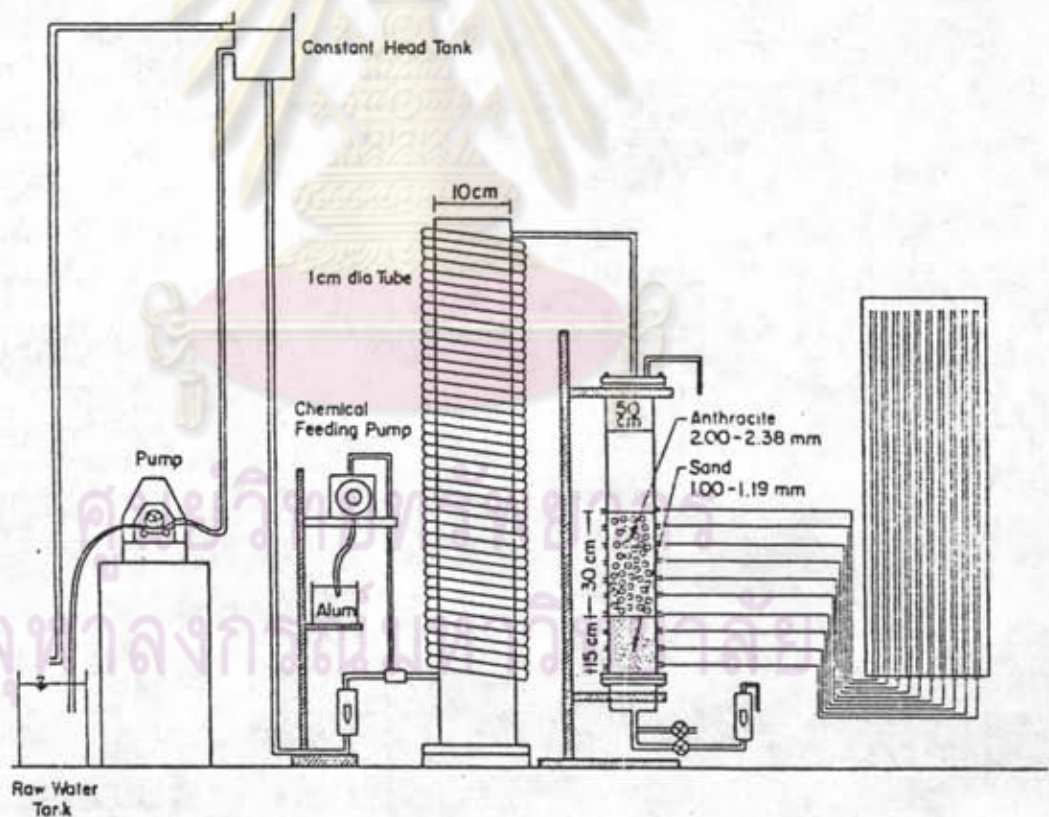
รูปที่ 3.1 (ข) ตั้งปฏิกรณ์กวนผสมรูปที่ใช้ใบพัด

รูปที่ 3.1 (ก) และ (ข) ตั้งปฏิกรณ์ไหลตรงแบบท่อและตั้งปฏิกรณ์กวนผสม

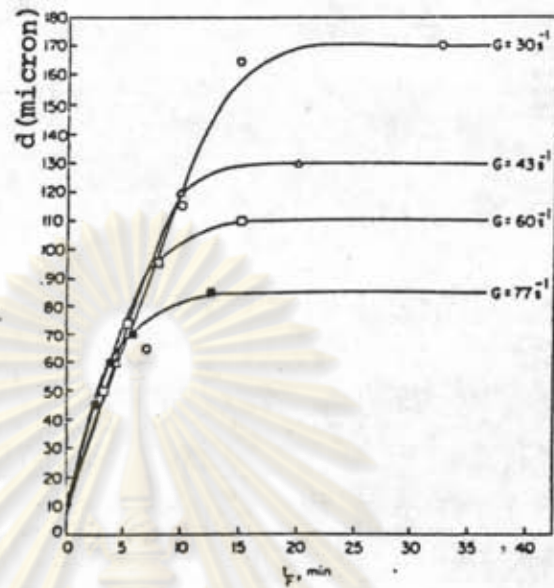


รูปที่ 3.2 ความสัมพันธ์ระหว่าง  $K_{app}$  และ  $G$  ของตั้งปฏิกรณ์ผสมเร็วแบบต่างๆ ความรูปที่ 3.1 (47)

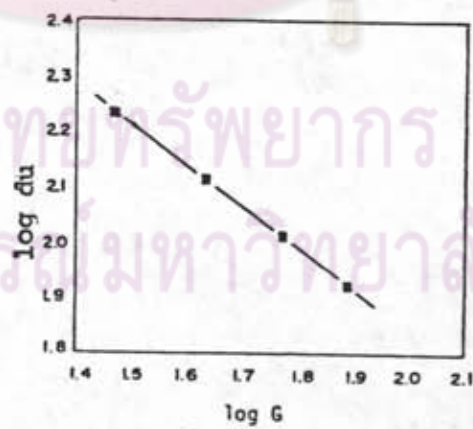
Sawang Notthakun<sup>(30)</sup> ได้ทำการทดลองเกี่ยวกับกระบวนการกรอง โดยตรงที่ประกอบด้วยท่อสमानตะกอนวนเวียน (spiral tube flocculator) ดังแสดงในรูปที่ 3.3 การไหลของน้ำในท่อสमानตะกอนเป็นการไหลแบบลามินาร์ (laminar flow) โดยมีค่า Re แปรจาก 404 ถึง 917 ผลการทดลองในส่วนของท่อสमानตะกอนวนเวียนพบว่า ประสิทธิภาพของการสमानตะกอนแปรตามขนาดของตะกอนโดยขนาดของตะกอนแปรตาม HRT และแปรกลับกับ G ดังแสดงในรูปที่ 3.4 ขนาดสูงสุดของตะกอน (ultimate floc size) ถูกกำหนดโดยค่า G ดังแสดงในรูปที่ 3.5 และพบว่าตะกอนที่ได้จากท่อสमानตะกอนแบบวนเวียน โดยทั่วไปจะมีขนาดสม่ำเสมอที่ค่า HRT และ G หนึ่ง



รูปที่ 3.3 ท่อสमानตะกอนวนเวียนในกระบวนการกรองโดยตรง ความการทดลองของ Sawang Notthakun<sup>(30)</sup>



รูปที่ 3.4 ความสัมพันธ์ระหว่างขนาดตะกอนกับ HRT และ G ของท่อสมานตะกอนวนเวียน (30)



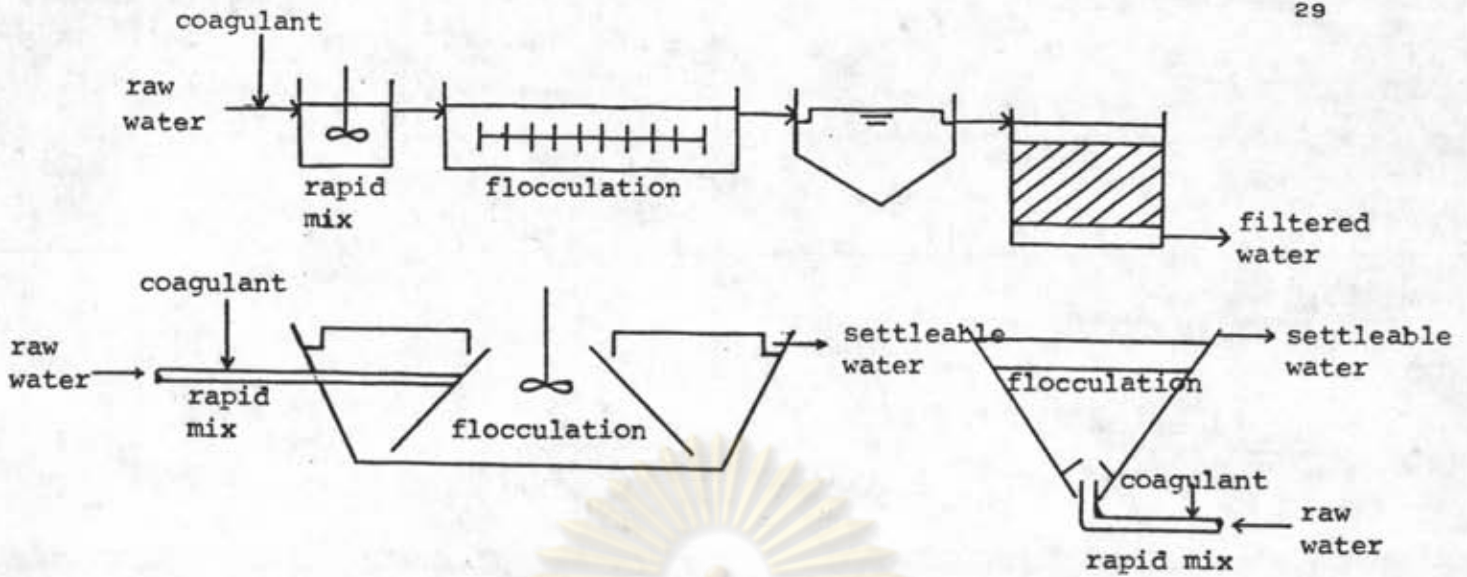
รูปที่ 3.5 ความสัมพันธ์ระหว่างขนาดสูงสุดของตะกอนกับ G ของท่อสมานตะกอนวนเวียน (30)

### 3.2.3 กระบวนการรวมตะกอนในท่อ

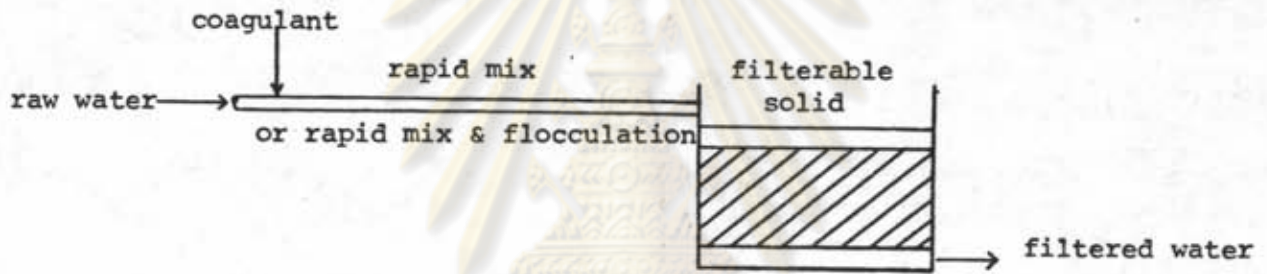
จากที่กล่าวมาจะเห็นว่ากระบวนการรวมตะกอนโดยทั่วไปซึ่งได้แก่ กระบวนการรวมตะกอนแบบพื้นฐาน และกระบวนการรวมตะกอนในถังตะกอนสัมผัส มีลักษณะร่วมที่สำคัญคือ ดังปฏิกรณ์ของชั้นผสมเร็วและชั้นสमानตะกอนแยกออกจากกัน ดังปฏิกรณ์ของชั้นผสมเร็วเป็นดังปฏิกรณ์กวนสมบูรณ์หรือดังปฏิกรณ์แบบปลิกไหล และดังปฏิกรณ์ของชั้นสमानตะกอนโดยทั่วไปได้แก่ดังปฏิกรณ์แบบใบพัดกวน ลักษณะเช่นนี้ทำให้เกิดข้อด้อยบางประการได้แก่ ค่าใช้จ่าย<sup>ขึ้นต้นและขึ้น</sup> ต้นต้นและขึ้นค่า<sup>ขึ้นต้นและขึ้น</sup> เนินการสูง และต้องให้ผู้มีความรู้ความชำนาญสูงสำหรับควบคุมให้กระบวนการทำงานอย่างมีประสิทธิภาพ

การวิจัยนี้มุ่งถึงการประยุกต์ใช้ได้กระบวนการรวมตะกอนที่ประหยัดควบคุมได้ง่าย และมีประสิทธิภาพพอสมควร สำหรับนำไปใช้กับระบบประปาที่ให้บริการชุมชนขนาดเล็กหรือประปาชนบท แนวความคิดหลักของกระบวนการรวมตะกอนเพื่อบรรลุวัตถุประสงค์ดังกล่าวคือ รวมการผสมเร็วและการสमानตะกอนเข้าไว้ในดังปฏิกรณ์เดียวกัน ใช้ดังปฏิกรณ์แบบปลิกไหลปราศจากเครื่องมือกล ทั้งนี้เพื่อลดค่าใช้จ่าย<sup>ขึ้นต้นและขึ้น</sup> ต้นต้นและขึ้นค่า<sup>ขึ้นต้นและขึ้น</sup> เนินการ กระบวนการรวมตะกอนในท่อสามารถตอบสนองแนวความคิดหลักดังกล่าวได้เป็นอย่างดี โดยผลได้ที่สำคัญอีกประการหนึ่งคือควบคุมการทำงานของกระบวนการได้ง่าย แม้ว่าอีกนัยหนึ่งจะทำให้ต้องสูญเสียความยืดหยุ่นในการควบคุมที่ได้จากการใช้เครื่องมือไปก็ตาม

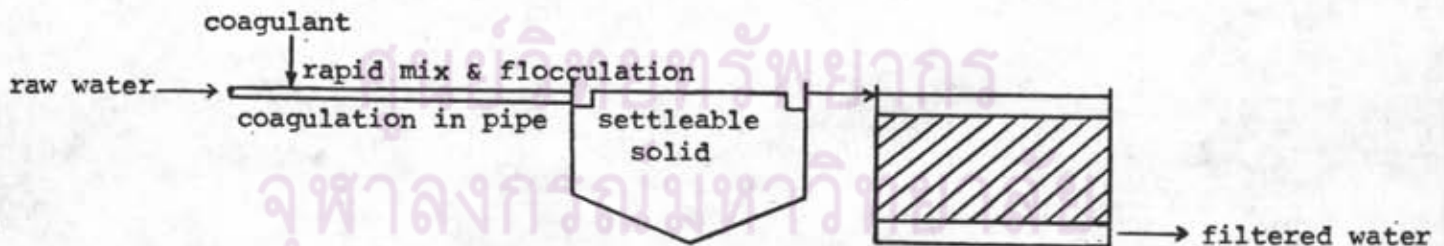
รูปที่ 3.6 แสดงถึงความแตกต่างระหว่างกระบวนการรวมตะกอนโดยทั่วไป การผสมเร็วหรือการผสมเร็วและการสमानตะกอนในกระบวนการกรองโดยตรง และกระบวนการรวมตะกอนในท่อตามการวิจัยนี้ จะเห็นว่ากระบวนการรวมตะกอนในท่อแตกต่างจากกระบวนการรวมตะกอนทั่วไปเนื่องจากใช้ดังปฏิกรณ์ปลิกไหลคือท่อโดยรวมชั้นผสมเร็วและชั้นสमानตะกอนเข้าด้วยกัน และแตกต่างจากท่อผสมเร็วหรือท่อรวมตะกอนในกระบวนการกรองโดยตรงเนื่องจากผลที่ได้คือตะกอนที่ตกตะกอนได้ง่ายมิใช่ตะกอนที่กรองได้ง่าย



กระบวนการรวมตะกอนโดยทั่วไป



กระบวนการกรองโดยตรง



กระบวนการรวมตะกอนในท่อของการวิจัยนี้

รูปที่ 3.6 กระบวนการรวมตะกอนโดยทั่วไป การผสมเร็วหรือการรวมตะกอนในท่อของ กระบวนการกรองโดยตรง และกระบวนการรวมตะกอนในท่อของการวิจัยนี้



อนึ่ง กระบวนการรวมตะกอนในท้องน้ำไปใช้ในระบบประปาขนาดเล็กที่ประปาชนบทโดยต้องการให้มีประสิทธิภาพพอสมควรสามารถกำจัดความขุ่นให้คงเหลือความขุ่นในกระแสบอกอยู่ในเกณฑ์ที่กระบวนการกรองยอมรับได้คือไม่เกิน 10 NTU นั่นคือ ที่ความขุ่นในกระแสบอกเท่ากับ 50 NTU ประสิทธิภาพของกระบวนการรวมตะกอนในท้องซึ่งต้องการจะมีค่า 80% ขึ้นไป ช่วงประสิทธิภาพดังกล่าวนี้อยู่ในระดับที่คาดหวังได้ถ้าสามารถประสานค่า G และ T ของท้องรวมตะกอน ให้ให้ค่าเกินไปหรือสูงเกินไปจนเกิดปัญหาอย่างรุนแรงกับชั้นผสมเร็วและชั้นสมานตะกอนตามลำดับ ดังนั้น การทดลองเกี่ยวกับกระบวนการรวมตะกอนในท้องของการวิจัยนี้ จึงต้องดำเนินการให้ครอบคลุมตั้งแต่ค่า G ที่ต่ำกว่าลำดับ  $10^2$  จนถึง  $10^3$  วินาที<sup>-1</sup> ซึ่งเทียบเท่าการไหลแบบลามินาร์ถึงปั่นป่วน และครอบคลุมตั้งแต่ค่า T ในระดับวินาทีจนถึงระดับนาที เพื่อให้สามารถหาค่า G และ T ที่เป็นไปได้มากที่สุด



ศูนย์วิทยทรัพยากร  
จุฬาลงกรณ์มหาวิทยาลัย